

Министерство образования и науки Российской Федерации

НАЦИОНАЛЬНЫЙ ИССЛЕДОВАТЕЛЬСКИЙ
МОСКОВСКИЙ ГОСУДАРСТВЕННЫЙ СТРОИТЕЛЬНЫЙ УНИВЕРСИТЕТ

Кафедра проектирования зданий и сооружений

АРХИТЕКТУРА ЗДАНИЙ. АРХИТЕКТУРНАЯ ФИЗИКА

Рабочая тетрадь к лабораторным работам
для студентов бакалавриата всех форм обучения
по направлению подготовки 08.03.01 Строительство



Выполнил: _____

Проверил: _____

© НИУ МГСУ, 2016

Москва 2016

УДК 69:53

ББК 38

A87

Р е ц е н з е н т

кандидат технических наук *C.B. Стецкий*,
профессор кафедры архитектуры гражданских и промышленных зданий

С о с т а в и т е л и :

К.О. Ларионова, А.Д. Серов

A87 Архитектура зданий. Архитектурная физика [Электронный ресурс] : рабочая тетрадь к лабораторным работам для студентов бакалавриата всех форм обучения по направлению подготовки 08.03.01 Строительство; М-во образования и науки Рос. Федерации, Нац. исследоват. Моск. гос. строит. ун-т, каф. проектирования зданий и сооружений ; сост. : К.О. Ларионова, А.Д. Серов. 2-е изд. — Электрон. дан. и прогр. (1,6 Мб). Москва : НИУ МГСУ, 2016. — Режим доступа: <http://mgsu.ru/resources/izdatelskaya-deyatelnost/> izdaniya/izdaniya-otkr-dostupa/ — Загл. с титул. экрана.

Содержатся таблицы и схемы, необходимые для выполнения лабораторных работ. Приведены задачи и описание применяемых приборов и оборудования, которые заполняются, формулируются и описываются студентами. Лабораторные работы предусмотрены программами и календарно-тематическими планами.

Для студентов бакалавриата всех форм обучения по направлению подготовки 08.03.01 Строительство.

Учебное электронное издание

Корректор *В.К. Чупрова*
Компьютерная верстка *О.В. Суховой*

Для создания электронного издания использовано:
Microsoft Word 2007, Adobe Reader

Подписано к использованию 14.07.2016. Уч.-изд. л. 2. Объем данных 1,6 Мб

Федеральное государственное бюджетное образовательное учреждение
высшего образования
«Национальный исследовательский
Московский государственный строительный университет» (НИУ МГСУ).
129337, Москва, Ярославское ш., 26.

Издательство МИСИ – МГСУ.
Тел. (495) 287-49-14, вн. 13-71, (499) 188-29-75, (499) 183-97-95.
E-mail: ric@mgsu.ru, rio@mgsu.ru

ВВЕДЕНИЕ

Рабочая тетрадь для выполнения лабораторных работ составлена в целях более качественного и эффективного выполнения серии лабораторных работ по курсу. Тетрадь включает в себя базовые справочно-информационные материалы и указания по порядку выполнения лабораторных работ по строительной светотехнике, строительной акустике и строительной теплотехнике. Лабораторные работы выполняются на основе соответствующих методических указаний, разработанных на кафедре Архитектуры гражданских и промышленных зданий НИУ МГСУ, в которых использованы материалы всех действующих в настоящее время нормативных документов по соответствующим разделам курса. Рабочая тетрадь предназначена для бакалавров всех направлений и всех форм обучения.

Лабораторная работа 1

ОПРЕДЕЛЕНИЕ КОЭФФИЦИЕНТА ЕСТЕСТВЕННОЙ ОСВЕЩЕННОСТИ В ПОМЕЩЕНИИ ПРИ НАТУРНЫХ ИЗМЕНЕНИЯХ И ТЕОРЕТИЧЕСКИХ РАСЧЕТАХ УРОВНЕЙ ОСВЕЩЕННОСТИ (ДЛЯ СИСТЕМЫ ВЕРХНЕГО ЕСТЕСТВЕННОГО СВЕТА)

Цель работы — определение натурных значений коэффициента естественного освещения (КЕО) в расчетных точках помещения и оценка внутренней освещенности в помещении путем сопоставления фактических значений КЕО с нормируемыми. В тех же точках следует определить теоретические значения КЕО, после чего результаты расчета сравнить с данными натурных измерений и нормируемых значений КЕО.

Используемые приборы и принадлежности:

Принцип действия прибора:

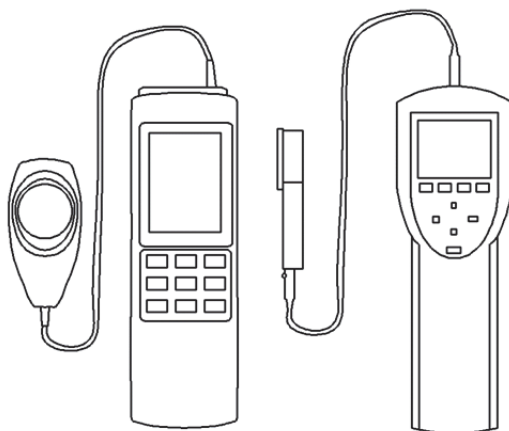


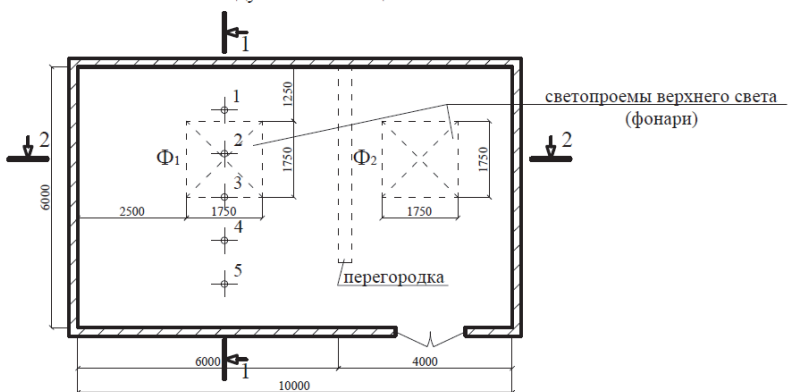
Рис. 1. Люксметры

Таблица 1

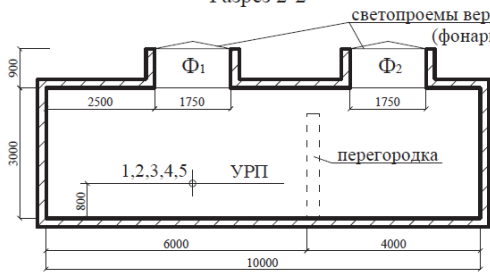
Натурные измерения

№ п/п	Замер	$E_{\text{вн}}$, Лк	$E_{\text{нап}}$, Лк	$e_{\text{в}}^{\text{нат}}, \%$
1	1 замер 2 замер			
2	1 замер 2 замер			
3	1 замер 2 замер			
4	1 замер 2 замер			
5	1 замер 2 замер			

План обследуемого помещения



Разрез 2-2



Разрез 1-1

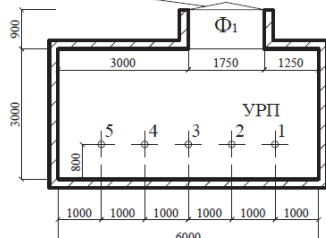


Рис. 2. Схема размещения точек измерения освещенности

Условие: $e_{\text{ср},\text{в}}^{\text{нат}} > e_{\text{ср},\text{в}}^{\text{норм}} = 4 \%$.

Расчетная формула: $e_{\text{в}}^{\text{нат}} = \frac{E_{\text{вн}}}{E_{\text{нап}}}$

$$e_{\text{ср,в}}^{\text{нат}} = \frac{1}{n-1} \left(\frac{e_1}{2} + e_2 + \dots + e_{n-1} + \frac{e_n}{2} \right),$$

$$e_{\text{ср,в}}^{\text{нат}} = \frac{e_{\text{ср,в}}^{\text{нат}}}{e_{\text{ср,в}}^{\text{норм}}} = 4 \%$$

Теоретические расчеты

В теоретических расчетах КЕО проводятся для аудиторной части помещения лаборатории, влияние освещения от светопроема Φ_2 , расположенного за перегородкой, не учитывается.

Таблица 2

№ п/п	n_1	n_2	$\varepsilon_{\text{в}}$	$\varepsilon_{\text{ср}}$	r_2	K_{ϕ}	τ_0	K_3	$e_{\text{в}}^{\text{р}}, \%$	$e_{\text{ср}}^{\text{р}}, \%$
1										
2										
3										
4										
5										

Расчетная формула: $e_{\text{в}}^{\text{р}} = [\varepsilon_{\text{в}} + \varepsilon_{\text{ср}} \cdot (r_2 \cdot K_{\phi} - 1)] \cdot \tau_0 / K_3$

$\varepsilon = 0,01 \cdot n_1 \cdot n_2$, где ε — геометрический КЕО,

n — количество лучей;

$$\varepsilon = \underline{\hspace{10cm}}$$

$$\varepsilon_{\text{ср}} = \frac{1}{n} \cdot \sum \varepsilon_{\text{в}} i$$

$$\varepsilon_{\text{ср}} = \underline{\hspace{10cm}}$$

r_2 — коэффициент, учитывающий внутренний отраженный свет;

$$r_2 = \underline{\hspace{10cm}}$$

K_{ϕ} — коэффициент, учитывающий тип фонаря;

$$K_{\phi} = \underline{\hspace{10cm}}$$

$$\tau_0 = \tau_1 \cdot \tau_2 \cdot \tau_3 \cdot \tau_4 \cdot \tau_5$$

коэффициенты τ учитывают:

τ_1 — вид и количество слоев остекления;

$$\tau_1 = \underline{\hspace{10cm}}$$

τ_2 — вид переплета;

$$\tau_2 = \underline{\hspace{10cm}}$$

τ_3 — наличие и вид несущих конструкций покрытия;

$$\tau_3 = \underline{\hspace{10cm}}$$

τ_4 — наличие и глубина лоджий, балконов, солнцезащитных устройств;

$$\tau_4 = \underline{\hspace{2cm}}$$

τ_5 — наличие защитной сетки под фонарем;

$$\tau_5 = \underline{\hspace{2cm}}$$

$$\tau_0 = \tau_1 \cdot \tau_2 = \underline{\hspace{10cm}}$$

K_3 — коэффициент запаса, учитывающий загрязнение внутренней среды в помещении;

$$K_3 = \underline{\hspace{2cm}}$$

$$e_1^{\mathrm{p}} =$$

$$e_3^p = \frac{1}{\sqrt{2}}$$

$$e_p = \sum_{k=1}^n e_k$$

e_3 —
 e_p —

e_4 —————

$$e_5^r = \underline{\hspace{2cm}}$$

$$e_{\text{cp}} = \frac{1}{n-1} \left(\frac{e_1}{2} + e_2 + \cdots + e_{n-1} + \frac{e_n}{2} \right)$$

$$e_{cp}^p = \underline{\hspace{1cm}}$$

$$e_{\text{cp},\text{B}}^{\text{p}} = \underline{\hspace{1cm}} e_{\text{cp},\text{B}}^{\text{hopM}} = 4\%.$$

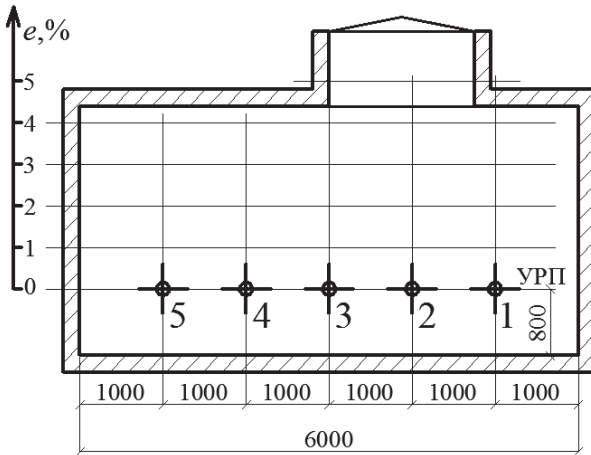


Рис. 3. График распределения КЕО

Выводы:

Рекомендации:

Лабораторная работа 2

**ИССЛЕДОВАНИЕ ИЗОЛЯЦИИ ВОЗДУШНОГО ШУМА
ОГРАЖДАЮЩИМИ КОНСТРУКЦИЯМИ ЗДАНИЙ**

Цель работы — знакомство с методикой и аппаратурой, применяемыми при экспериментальных исследованиях изоляции воздушного шума ограждающими конструкциями.

Используемые приборы и принадлежности:

Принцип действия прибора:



Рис. 4. Шумомер

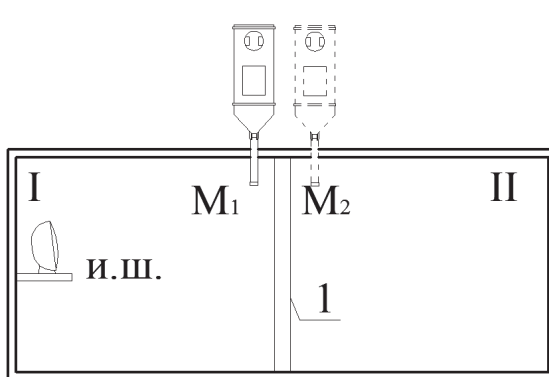


Рис. 5. Схема установки: I — исследуемое ограждение; M_1 , M_2 — расположение микрофона; I — помещение (камера) с высоким уровнем звука; II — изолированное помещение (камера); и.ш. — источник шума

Расчетная формула:

$$R_n = L_1 - L_2 + 10 \cdot \lg \frac{S}{A_2},$$

где R_n — изоляция воздушного шума ограждением;

L_1 и L_2 — средние уровни звукового давления в помещениях (камерах) высокого и низкого уровней соответственно, дБ;

S — площадь поверхности испытываемой конструкции, м²;

A_2 — эквивалентная площадь звукопоглощения изолируемого помещения, м²;

$$A_2 = \sum_{i=1}^n \alpha_i S_i + \sum_{k=1}^m A_k;$$

α_i — коэффициент звукопоглощения i -й поверхности помещения;

S_i — площадь i -й поверхности изолированного помещения, м²;

A_k — эквивалентная площадь звукопоглощения отдельного k -го предмета помещения, м²;

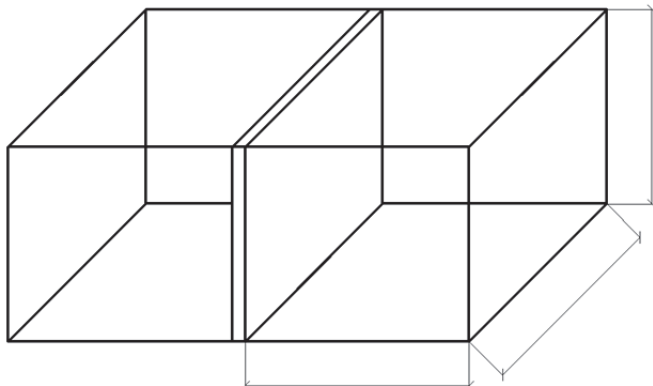


Рис. 6. Геометрические параметры акустической камеры

Таблица 3

№ п/п	Параметры	Среднегеометрические частоты третьоктавных полос, Гц															
		100	125	160	200	250	315	400	500	630	800	1000	1250	1600	2000	2500	3150
1	L_1 , дБ																
2	L_2 , дБ																
3	S , м ²																
4	$\sum S_i$, м ²																
5	$\alpha_{\text{оргтекла}}$	0,3	0,3	0,3	0,2	0,2	0,2	0,1	0,1	0,1	0,07	0,07	0,07	0,05	0,05	0,02	0,02
6	A_2 , м ²																
7	$10 \cdot \lg(S/A_2)$																

Таблица 4

№ п/п	Параметры	Среднегеометрические частоты третьоктавных полос, Гц														
		100	125	160	200	250	315	400	500	630	800	1000	1250	1600	2000	2500
1	Изоляция воздушного шума R_n , дБ															
2	Оценочная кривая R_i , дБ	33	36	39	42	45	48	51	52	53	54	55	56	56	56	56
3	Неблагоприятные отклонения, дБ															
4	Сумма неблагоприятных отклонений															
5	Смешенная оцен. кривая, дБ															
6	Неблагоприятные отклонения, дБ															
7	Сумма неблагоприятных отклонений															
8	Индекс изоляции воздушного шума R_w , дБ															

Методика определения индекса воздушного шума R_w

Индекс изоляции воздушного шума R_w , дБ, ограждающей конструкцией, измеренной в ходе лабораторной работы частотной характеристикой изоляции воздушного шума определяется путем сопоставления этой частотной характеристики с оценочной кривой.

Для определения индекса изоляции воздушного шума R_w , необходимо определить сумму неблагоприятных отклонений данной частотной характеристики от оценочной кривой. Неблагоприятными считаются отклонения вниз от оценочной кривой.

Если сумма неблагоприятных отклонений максимально приближается к 32 дБ, но не превышает эту величину, величина индекса R_w , составляет 52 дБ.

Если сумма неблагоприятных отклонений превышает 32 дБ, оценочная кривая смещается вниз на целое число дБ так, чтобы сумма неблагоприятных отклонений не превышала указанную величину.

Если сумма неблагоприятных отклонений значительно меньше 32 дБ или неблагоприятные отклонения отсутствуют, оценочная кривая смещается

вверх на целое число дБ так, чтобы сумма неблагоприятных отклонений от смещенной оценочной кривой максимальна приближалась

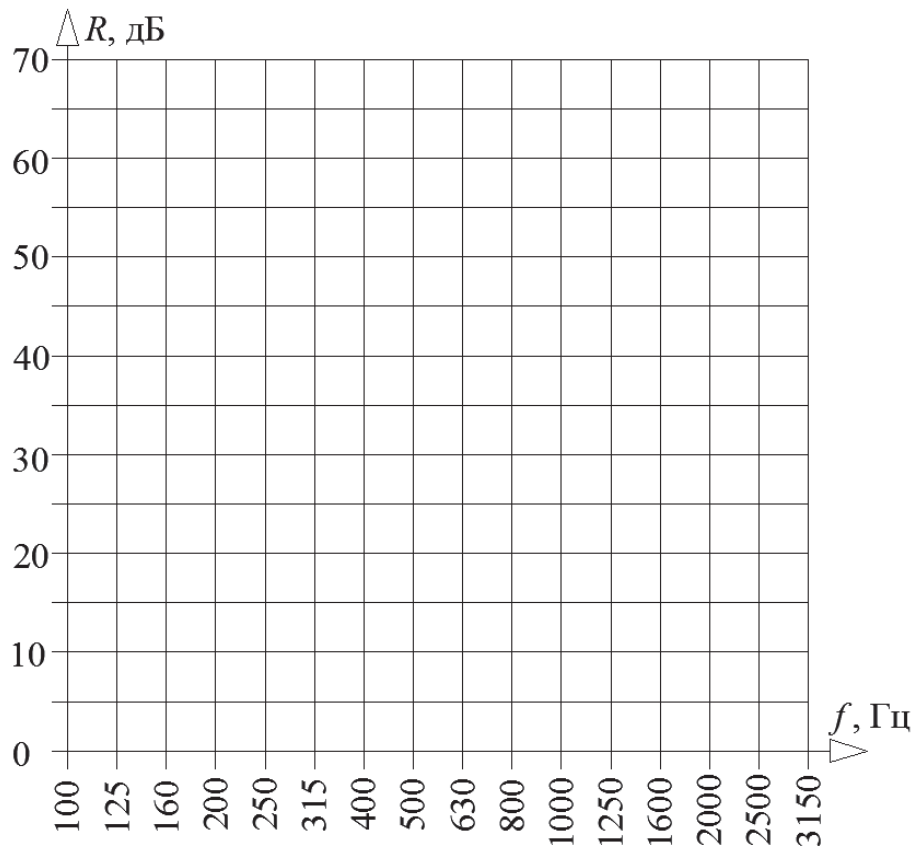


Рис. 7. График $R_w = \underline{\hspace{2cm}}$ дБ

к 32 дБ, но не превышала эту величину.

За величину индекса R_w , принимается ордината смещенной (вверх или вниз) оценочной кривой в третьоктавной полосе со среднегеометрической частотой 500 Гц.

Выводы:

Лабораторная работа 3

ОПРЕДЕЛЕНИЕ КОЭФФИЦИЕНТА ТЕПЛОПРОВОДНОСТИ СТРОИТЕЛЬНЫХ МАТЕРИАЛОВ

Цель работы — научиться определять коэффициент теплопроводности различных материалов на практике. Запроектировать ограждающую конструкцию из исследуемых материалов.

Используемые приборы и принадлежности:

Область применения:

Принцип действия прибора:

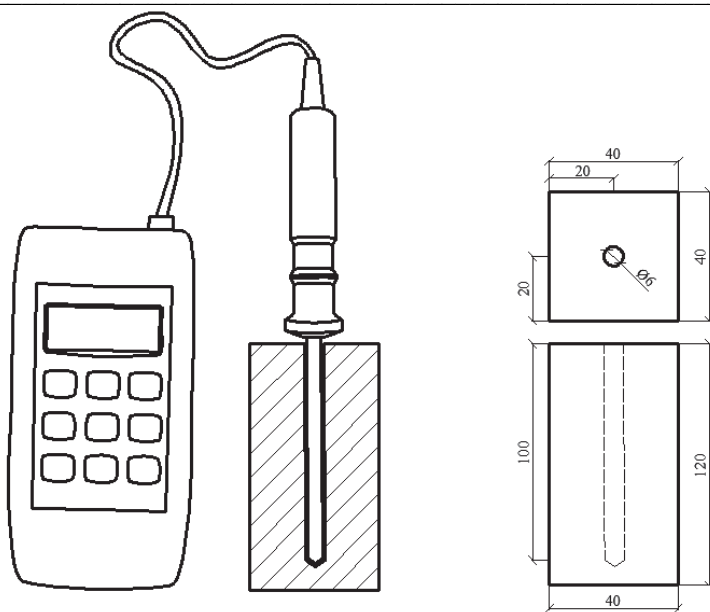


Рис. 8. Измеритель теплопроводности и размеры образца

Используя полученные данные, запроектировать ограждающую конструкцию. Задать толщину несущей части конструкции и отделочных слоев. Определить необходимую толщину утеплителя.

Таблица 5

№ п/п	Наименование материала	Примерное значение коэффициента теплопроводности, Вт/(м·°C)	Коэффициент теплопроводности λ , Вт/(м·°C)	Толщина слоя ограждающей конструкции δ , м	Сопротивление теплопередаче слоя R, (м ² ·°C)/Вт
1					
2					
3					
4					

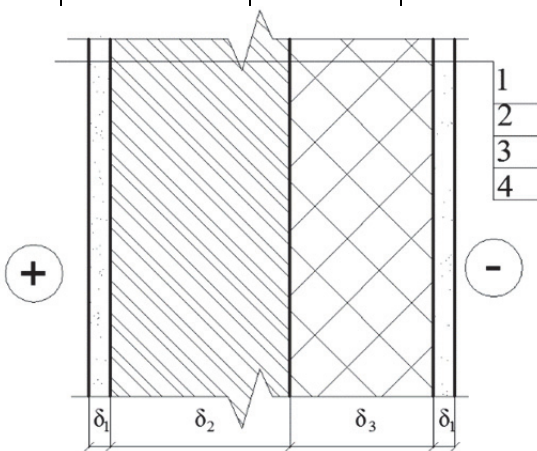


Рис. 9. Состав ограждающей конструкции

Основное условие:

$$R_0^p \geq R_0^{tp},$$

где R_0^p — расчетное сопротивление теплопередачи проектируемой ограждающей конструкции;

R_0^{tp} — требуемое сопротивление теплопередачи ограждающей конструкции, для Москвы принимаем $R_0^{\text{tp}} = 3,13(\text{м}^2 \cdot \text{°C})/\text{Вт}$;

$$R_0^{\text{p}} = \frac{1}{\alpha_{\text{в}}} + \frac{\delta_1}{\lambda_1} + \frac{\delta_2}{\lambda_2} + \dots + \frac{\delta_{\text{н}}}{\lambda_{\text{н}}} + \frac{1}{\alpha_{\text{н}}} =,$$

где $\alpha_{\text{в}} = 8,7 \text{ Вт}/(\text{м} \cdot \text{°C})$, $\alpha_{\text{н}} = 23 \text{ Вт}/(\text{м} \cdot \text{°C})$;

$$\delta_{\text{yt}} =$$

Принимаем толщину утеплителя: _____ см

Выводы:

Лабораторная работа 4

ИЗМЕРЕНИЕ ТЕМПЕРАТУРЫ ПОВЕРХНОСТИ ОГРАЖДАЮЩИХ КОНСТРУКЦИЙ КОНТАКТНЫМ И БЕСКОНТАКТНЫМ СПОСОБАМИ

Цель работы — научиться работать с приборами, предназначенными для измерения температуры поверхности конструкций; провести тепловизионную съемку помещения лаборатории; выявить дефекты ограждающих конструкций и составить отчет.

Используемые приборы и принадлежности:

Контактный способ определения температуры поверхности

Принцип действия прибора:

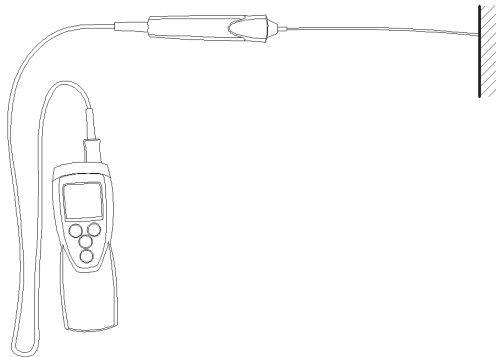


Рис. 10. Измерения температуры контактным термометром

Бесконтактный способ определения температуры поверхности

Область применения:

Принцип действия прибора:

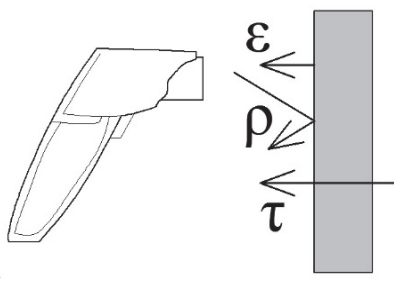


Рис. 11. Измерения температуры ИК термометром

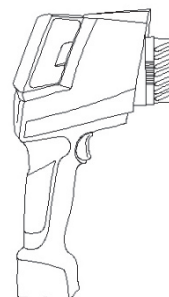


Рис. 12. Тепловизор

Закон теплового излучения: $\epsilon + \rho + \tau = 1$.

Инфракрасное излучение, состоит из:

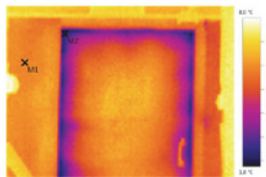
ϵ —

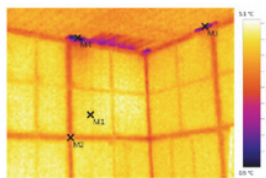
ρ —

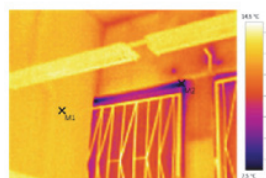
τ —

Область применения:

Наименование дефекта







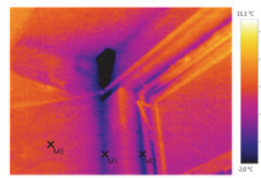




Рис. 13. Термограммы

Таблица 6

№ точки	Температура, °C	Примечания
1		
2		
3		
4		
5		
6		
7		
8		
9		
10		
11		
12		
13		

Выводы:

Лабораторная работа 5

ИЗМЕРЕНИЕ ВЛАЖНОСТИ СТРОИТЕЛЬНЫХ МАТЕРИАЛОВ И СПОСОБЫ БОРЬБЫ С УВЛАЖНЕНИЕМ ПОДЗЕМНОЙ И ЦОКОЛЬНОЙ ЧАСТЕЙ ЗДАНИЙ

Цель работы — знакомство с методикой и приборами, предназначенными для измерения влажности различных строительных материалов; изучение причин и методов борьбы с увлажнением подземной и цокольной частей зданий.

Используемые приборы и принадлежности:

Принцип действия прибора:

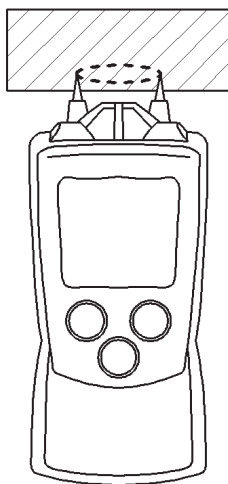


Рис. 14. Измерение влажности материала с помощью игольчатого влагомера

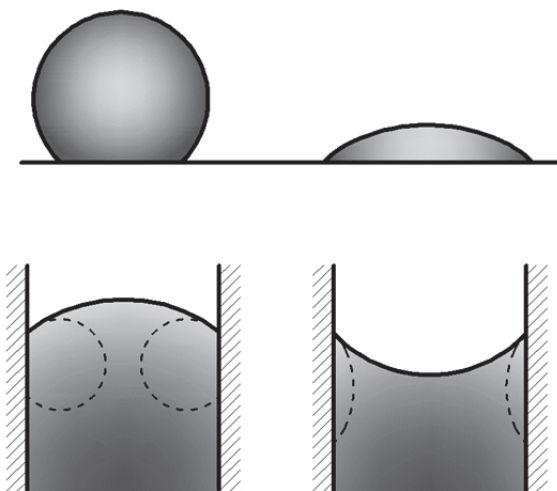


Рис. 15. Смачивание поверхности.
Определение краевого угла

Таблица 7

№ п/п	Исследуемый материал	Тип материала	Влажность, %
1			
2			
3			
4			
5			
6			
7			

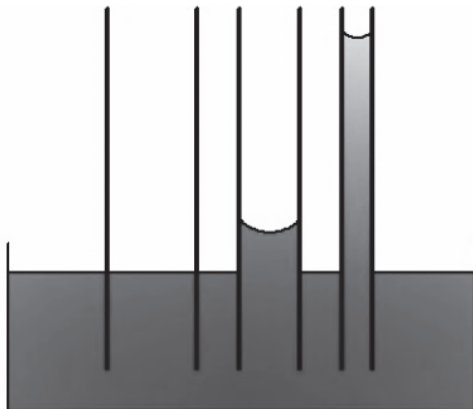


Рис. 16. Влияние размера капилляра на высоту поднятия влаги

Определение высоты поднятия жидкости по капиллярам

Формула Жюрена:

$$h = \frac{2 \cdot \sigma}{\rho \cdot g \cdot \gamma_{ж}},$$

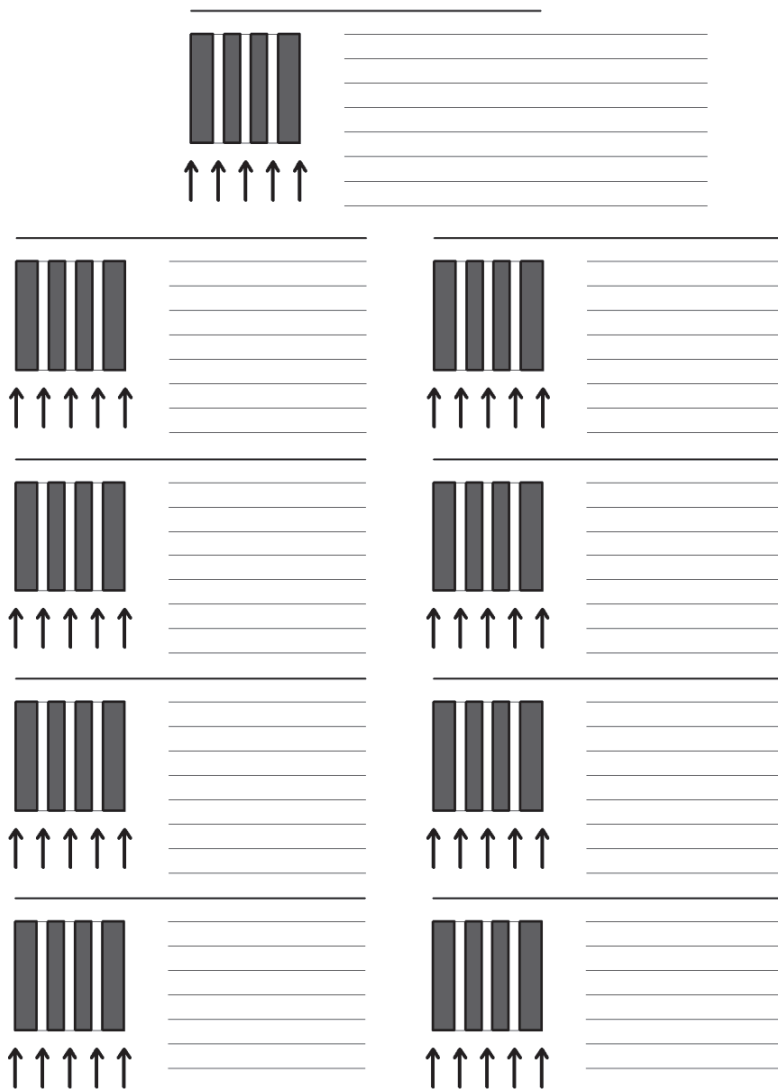
где σ — коэффициент поверхностного натяжения жидкости; ρ — радиус мениска жидкости, g — ускорение свободного падения; $\gamma_{ж}$ — плотность жидкости;

$$r = \rho \cdot \cos\theta,$$

где r — радиус капилляра; θ — краевой угол (при полном смачивании $\cos\theta = 1$).Для воды: $\sigma = 72,86 \cdot 10^{-3}$ Н/м; $\gamma_{ж} = 1000$ кг/м³;

$$h = \underline{\hspace{10cm}}$$

Способы борьбы с увлажнением подземной и цокольной частей зданий



Выводы:

БИБЛИОГРАФИЧЕСКИЙ СПИСОК

1. *Объедков В.А.* Лабораторный практикум по строительной физике: учеб. пособие для студентов вузов / В.А. Объедков, А.К. Соловьев, А.Н. Кондратенков и др. М. : Высш. шк., 1979. 221 с.
2. *Стецкий С.В.* Методические указания к выполнению лабораторных работ по строительной светотехнике. М. : МГСУ, 2009. 35 с.
3. *Стецкий С.В.* Учебное пособие к практическим занятиям по курсу «Физика среды и ограждающих конструкций». М. : МГСУ, 2009. 40 с.
4. *Соловьев А.К.* Физика среды. М.: Изд-во АСВ, 2008.
5. ГОСТ 30256—94. Метод определения теплопроводности цилиндрическим зондом.
6. Руководство по эксплуатации, тепловизор testo 880 ООО «Тэсто Рус».
7. Руководство по эксплуатации, измеритель теплопроводности материалов МИТ-1 НПП «Интерприбор».
8. Руководство по эксплуатации, инфракрасный термометр testo 831 ООО «Тэсто Рус».
9. Руководство по эксплуатации, прибор для измерения влажности testo 606-2 ООО «Тэсто Рус».
10. Руководство по эксплуатации, шумомер-виброметр, анализатор спектра Экофизика-110А ООО «ПФК Цифровые приборы».
11. ГОСТ 26629—85. Методика контроля качества теплоизоляции ограждающих конструкций.
12. *Лоботовкина Е.Г.* Методические указания к выполнению лабораторных работ по строительной акустике. М. : МГСУ, 2009. 20 с.
13. *Лыков В.А.* Явления переноса в капиллярно-пористых телах. М. : Гос. изд-во технико-теоретической литературы, 1954. 295 с.
14. *Лобатовкина Е.Г.* Расчет звукоизоляции ограждающих конструкций жилых зданий : методические указания к выполнению практических работ по дисциплине «Физика среды и ограждающих конструкций». М. : МГСУ, 2012. 88 с.
15. *Лобатовкина Е.Г., Стецкий С.В.* Теплотехнический расчет ограждающих конструкций жилых и общественных зданий : методические указания по выполнению расчетно-графической работе по дисциплине «Физика среды и ограждающих конструкций». М. : МГСУ, 2012. 40 с.
16. СНиП 23-03—2003. Защита от шума.
17. ГОСТ 30256—94. Материалы и изделия строительные. Метод определения теплопроводности цилиндрическим зондом.
18. СНиП 23.05—95. Естественное и искусственное освещение.
19. СП 52.13330.2011. Естественное и искусственное освещение.

ПРИЛОЖЕНИЯ

Приложение 1

График Данилюка I

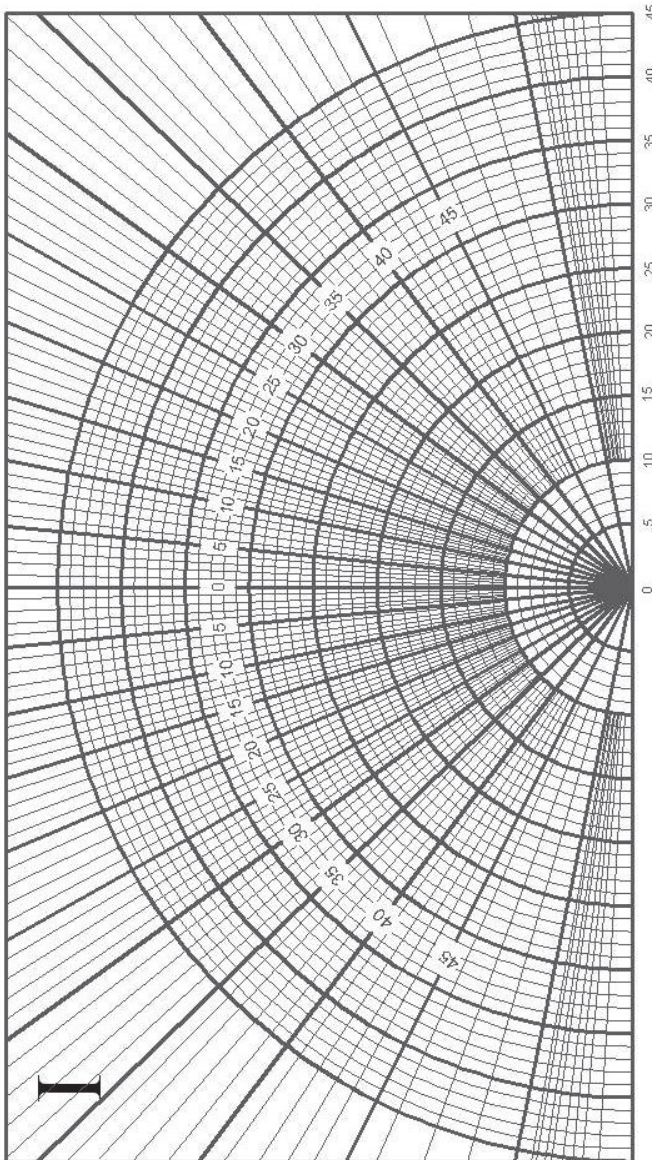


График Данилюка II

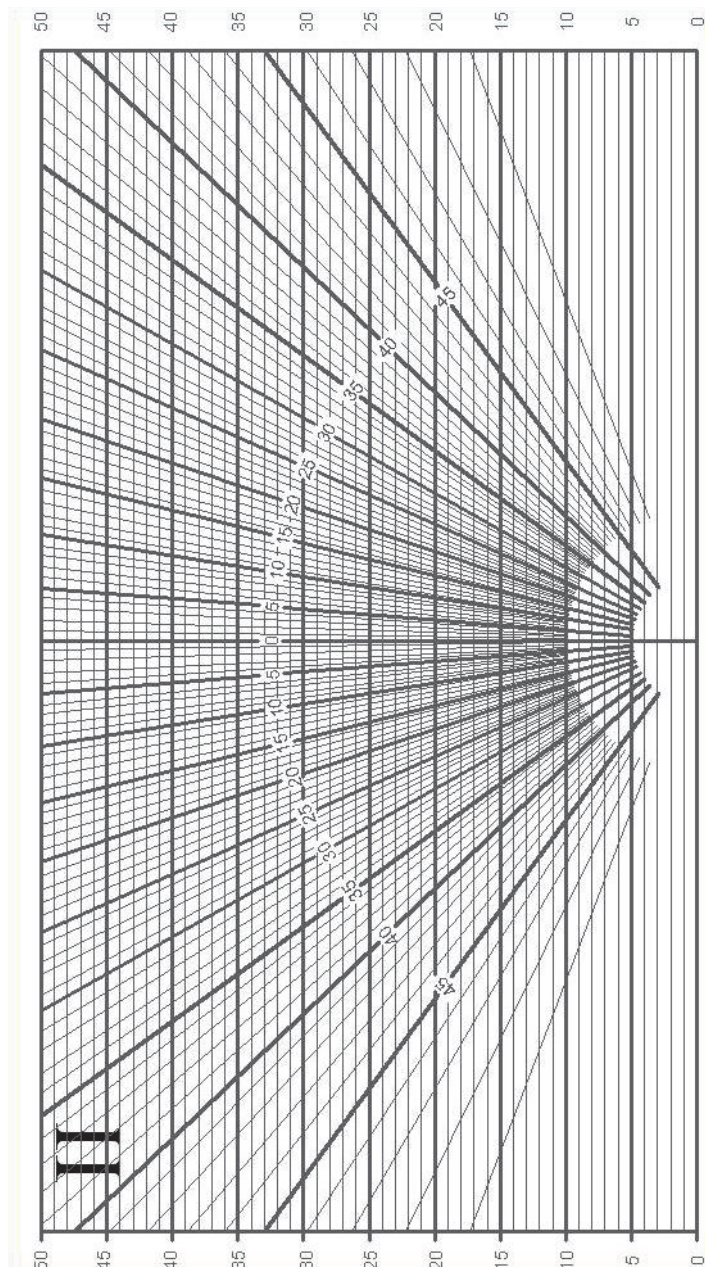


Таблица П2.1

Коэффициент запаса

Помещения и территории	Примеры помещений	Искусственное освещение			Естественное освещение		
		Коэффициент запаса K_3		Кол-во чисток светильников в год	Коэффициент запаса K_3		Кол-во чисток остекления светопроеемов в год
		Эксплуатационная группа светильников	Угол наклона светопропускающего материала к горизонту, градусы				
		1–4	5–6	7	0–15	16–45	46–75
1	2	3	4	5	6	7	8
1. Производственные помещения с воздушной средой, содержащей в рабочей зоне:							
a) св. 5 мг/м ³ пыли, дыма, копоти	Агломерационные фабрики, цементные заводы и обрубные отделения литейных цехов	2,0 18	1,7 6	1,6 4	2,0 4	1,8 4	1,7 4
б) от 1 до 5 мг/м ³ пыли, дыма, копоти	Цехи кузнечные, литейные, маркеновские, сборного железобетона	1,8 6	1,6 4	1,6 2	1,8 3	1,6 3	1,5 3
в) менее 1 мг/м ³ пыли, дыма, копоти	Цехи инструментальные, сборочные, механические, механизированные, пошивочные	1,5 4	1,4 2	1,4 1	1,6 2	1,5 2	1,4 2
г) значительные концентрации паров, кислот, щелочей, газов, способных при соприкосновении с влагой образовывать слабые растворы кислот, щелочей, а также обладающих большой коррозионной способностью	Цехи химических заводов по выработке кислот, щелочей, едких химических реактивов, ядохимикатов, удобрений, цехи гальванических покрытий и различных отраслей промышленности с применением электролиза	1,8 6	1,6 4	1,6 2	2,0 3	1,8 3	1,7 3

Продолжение табл. П2.1

1	2	3	4	5	6	7	8	9
2. Производственные помещения с особым режимом по чистоте воздуха при обслуживании светодиодников:								
а) с технического этажа		<u>1,3</u> 4	—	—	—	—	—	—
б) снизу из помещения		<u>1,4</u> 2	—	—	—	—	—	—
3. Помещения общественных и жилых зданий:								
а) пыльные, жаркие и сырьи	Горячие цехи предприятий общественного питания, охлаждаемые камеры, помещения для приготовления растворов в прачечных, душевые и т.д.	<u>1,7</u> 2	<u>1,6</u> 2	<u>1,6</u> 2	<u>2,0</u> 3	<u>1,8</u> 3	<u>1,7</u> 3	<u>1,6</u> 3
б) с нормальными условиями среды	Кабинеты и рабочие помещения, жилые комнаты, учебные помещения, лаборатории, читальные залы, залы совещаний, торговые залы и т.д.	<u>1,4</u> 2	<u>1,4</u> 1	<u>1,4</u> 1	<u>1,5</u> 2	<u>1,4</u> 2	<u>1,3</u> 1	<u>1,2</u> 1
4. Территории с воздушной средой, содержащей:								
а) большое количество пыли (более 1 мг/м ³)	Территории металлургических, химических, горнодобывающих предприятий, шахт, рудников, железнодорожных станций и прилегающих к ним улиц и дорог	<u>1,5</u> 4	<u>1,5</u> 4	<u>1,5</u> 4	—	—	—	—

Окончание табл. П2.1

1	2	3	4	5	6	7	8	9
б) малое количество пыли (менее 1 мг/м ³)	Территории промышленных предприятий, кроме указанных в подп. «а» и общественных зданий	$\frac{1,5}{2}$	$\frac{1,5}{2}$	$\frac{1,5}{2}$	—	—	—	—
5. Населенные пункты	Улицы, площади, дороги, территории жилых районов, парки, бульвары, пешеходные тоннели, фасады зданий, памятники	$\frac{1,6}{2}$	$\frac{1,5}{2}$	$\frac{1,5}{1}$	—	—	—	—
	Транспортные тоннели	—	$\frac{1,7}{2}$	$\frac{1,7}{2}$	—	—	—	—

Таблица П2.2

Значения коэффициентов τ_1 и τ_2

Вид светопропускающего материала	Значения τ_1	Вид переплета	Значения τ_2
Стекло оконное листовое:		Переплеты для окон и фонарей промышленных зданий:	
Одинарное	0,9	а) деревянные:	
Двойное	0,8	одинарные	0,75
Тройное	0,75	спаренные	0,7
Стекло витринное толщиной 6...8 мм	0,8	двойные раздельные	0,6
Стекло листовое армированное	0,6	б) стальные: одинарные открывающиеся	0,75
Стекло листовое узорчатое	0,65	одинарные глухие	0,9
Стекло листовое со специальными свойствами:		двойные открывающиеся	0,6
Солнцезащитное	0,65	двойные глухие	0,8
Контрастное	0,75	Переплеты для окон жилых, общественных и вспомогательных зданий:	
Органическое стекло:		а) деревянные:	
Прозрачное	0,9	одинарные	0,8
Молочное	0,6	спаренные	0,75
Пустотельные стеклянные блоки:		двойные раздельные с тройным остеклением	0,65 0,5

Окончание табл. П2.2

Вид светопропускающего материала	Значения τ_1	Вид переплета	Значения τ_2
Светорассеивающие	0,5	б) металлические:	
Светопрозрачные	0,55	одинарные	0,9
Стеклопакеты	0,8	спаренные	0,85
		двойные раздельные	0,8
		с тройным остеклением	0,7
		Стеклозелезобетонные панели с пустотельными стеклянными блоками при толщине шва:	
		20 мм и менее	0,9
		более 20 мм	0,85

Таблица П2.3
Значения коэффициентов τ_3 и τ_4

Несущие конструкции покрытий	Коэффициент, учитывающий потери света в несущих конструкциях, τ_3	Солнцезащитные устройства, изделия и материалы	Коэффициент, учитывающий потери света в солнцезащитных устройствах, τ_4
Стальные фермы	0,9	Убирающиеся регулируемые жалюзи и шторы (межстекольные, внутренние, наружные)	1,0
Железобетонные и деревянные фермы и арки	0,8	Стационарные жалюзи и экраны с защитным углом не более 45° при расположении пластин жалюзи или экранов под углом 90° к плоскости окна:	
		Горизонтальные	0,65
		вертикальные	0,75
Балки и рамы сплошные при высоте сечения:		Горизонтальные козырьки:	
50 см и более	0,8	С защитным углом	0,8
менее 50 см	0,9	не более 30° ,	
		с защитным углом от 15° до 45° (многоступенчатые)	0,9—0,6
		Балконы	
		глубиной до 1,20 м,	0,90
		глубиной 1,20÷1,50 м	0,85
		Лоджии	
		глубиной до 1,20 м,	0,80
		глубиной 1,20÷1,50 м	0,70

Таблица П2.4

Нормативные значения индексов воздушного шума

№ п/п	Наименование и расположение ограждающей конструкции	R_{ws} дБ	L_{nw} дБ
1	Перекрытия между помещениями квартир и отделяющие помещения квартир от холлов, лестничных клеток и используемых чердачных помещений: в домах категории А* в домах категории Б в домах категории В	54 52 50	55 ¹ 58 ¹ 60 ¹
2	Перекрытия между помещениями квартир и расположенные под ними магазинами: в домах категории А в домах категорий Б и В	59 57	55 45 ² 58 ¹ 48 ²
4	Перекрытия между жилыми помещениями общежитий	50	60
6	Перекрытия между помещениями квартиры и расположенные под ними ресторанами, кафе, спортивными залами: в домах категории А в домах категорий Б и В	62 60	55 45 ² 58 48 ²
7	Перекрытия между помещениями квартиры и расположенные под ними административными помещениями, офисами: в домах категории А в домах категорий Б и В	52 50	58 ² 60 ²
8	Стены и перегородки между квартирами, между помещениями квартир и лестничными клетками, холлами, коридорами, вестибюлями: в домах категории А в домах категории Б в домах категории В	54 52 50	— — —
11	Перегородки между санузлом и комнатой одной квартиры	47	—
12	Стены и перегородки между комнатами общежитий	50	—
13	Стены и перегородки, отделяющие помещения культурно-бытового обслуживания общежитий друг от друга и от помещений общего пользования (холлы, вестибюли, лестничные клетки)	47	—

¹ Требования предъявляются также к передаче ударного шума в жилые помещения квартир при ударном воздействии на пол помещения смежной квартиры (в том числе и находящейся на том же этаже или по диагонали).

² Требования предъявляются к передаче ударного шума в защищаемое от шума помещение при ударном воздействии на пол помещения, являющегося источником шума.

*Категория здания определяется техническим заданием на проектирование:

- категория А — высококомфортные условия;
- категория Б — комфортные условия;
- категория В — предельно допустимые условия.

Таблица П2.5

Теплотехнические свойства строительных материалов

Материал	Характеристики материалов в сухом состоянии			Расчетные коэффициенты						
	Плотность R_0 , кг/м ³	Удельная теплоемкость C_0 , кДж/(кг·°C)	Коэффициент теплопроводности L_0 , Вт/(м·°C)	Массового отношения влаги в материале W , %		Тепло-проводности L , Вт/(м·°C)		Теплоусвоения (при периоде 24 ч) S , Вт/(м ² ·°C)		Паропроницаемости M , мг/(м·ч·Па)
				A	B	A	B	A	B	
Пенополистирол	150	1,34	0,05	1	5	0,052	0,06	0,89	0,99	0,05
Плиты минераловатные	250	0,84	0,058	2	5	0,082	0,085	1,17	1,28	0,41
Плиты из стеклянного штапельного волокна «URSA»	85	0,84	0,044	2	5	0,046	0,05	0,51	0,57	0,5
Газо- и пенобетон, газо- и пеносиликат	1000	0,84	0,29	10	15	0,41	0,47	6,13	7,09	0,11
Глиняного обыкновенного (ГОСТ 530) на цементно-песчаном растворе	1800	0,88	0,56	1	2	0,7	0,81	9,2	10,12	0,11
Железобетон (ГОСТ 26633)	2500	0,84	1,69	2	3	1,92	2,04	17,98	18,95	0,03
Раствор цементно-песчаный	1800	0,84	0,58	2	4	0,76	0,93	9,6	11,09	0,09
Гранит, гнейс и базальт	2800	0,88	3,49	0	0	3,49	3,49	25,04	25,04	0,008

Таблица П2.6

Размеры капилляров некоторых материалов

№ п/п	Наименование материала	Радиус капилляра, м
1	Кирпич глиняный	10^{-5}
2	Бетон	10^{-6}
3	Уголь	10^{-8}